

岐阜大学工学部

正会員 安田 孝志

岐阜大学工学部

学生員 ○井上 健治

1. 緒言

本研究は、深浅測量図や波浪観測資料の捕つてある赤羽根漁港の周辺海岸の海浜過程の実態を波浪特性との関係で詳しく述べ明確化すると同時に、この種の海岸に適用される予測モデルを提案することにより、漁港周辺海岸の将来予測を試みようというものである。

2. 赤羽根漁港の概略と外力の特性

1). 赤羽根漁港の概略 赤羽根漁港は渥美半島の遠州灘に面し、図-1のよき形状を持つ。

2). 外力の特性 愛知県三河港務所によって波浪および周期の観測が東防波堤の沖合 T.P. -10m の位置に設置された圧力型波高計を用いて 2 時間に 1 日 12 回行なわれてあり、また 1 日 2 回の目視によって波向き観測も行なわれている。

図-2 はこれらの資料から日平均有義波高および周期の月平均値 H_s および T_s はかに月最大値 ($H_{s\max}$) を求め、その経年変化を示したものである。これから、来襲波浪に季節的変動は見られるが、絶対的にはほぼ一定であったことがわから。つづいて上述の 11 年間に亘る波浪の統計的特性を波向きに聞いて季節別に示したものが図-3 である。これから波向きは風向きと異なり、S から E 方向のものが压倒的に多く、約 90% を占め、卓越風向であった西から N 方向の成分は全く現われていなことがわかる。

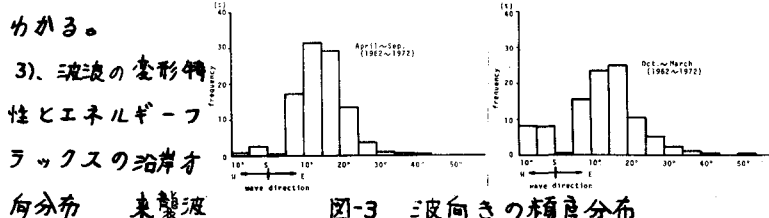


図-3 三波向きの頻度分布

3). 波浪の変形特性とエネルギーーフラックスの沿岸方向分布 来襲波

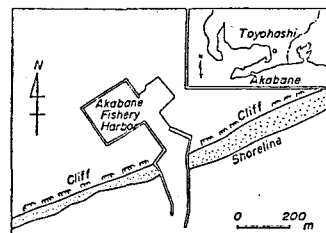


図-1 赤羽根漁港概略図

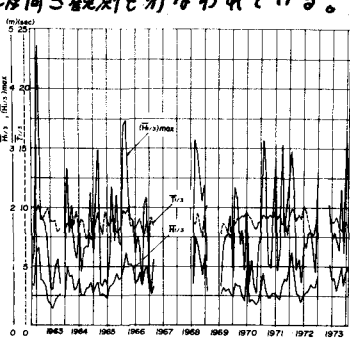
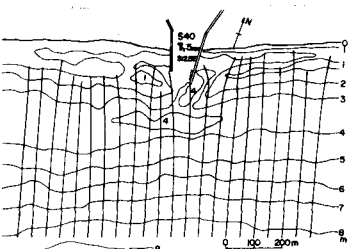


図-2 来襲波浪の経年変化



(2) 図-4 来襲波浪の屈折図

を解いて、碎波点での波向線間隔係数 β および入射角 θ を求めてエネルギーーフラックスの沿岸方向成分を計算する必要がある。図-4 は上式を解いて得られた漁港周辺の屈折図の一例であり、波向線は防波堤に集中する傾向にあることが見て取れる。また図-5 は、こうして求めた昭和38年度についてのエネルギーーフラックスの沿岸方向分布を西向きを正として示したものであり、これからも来襲波浪が防波堤に集中する傾向にあることがわかる。

3. 海岸地形の変遷

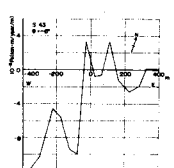
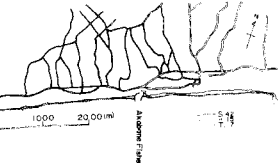


図-5 エネルギーフラックスの沿岸方向分布

1). 汎線の経年変化 図-6は5万分の1地形図を用いて漁港周辺の汎線の変化を示したものである。これから赤羽根漁港周辺では、汎線の後退は見られず、汎線は比較的安定していることがわかる。図-7は、防波堤の延長とそれに伴う汎線の変化を示したものである。図中の数字は防波堤延長の年度を示す。防波堤周辺では汎線は前進しており防波堤による沿岸漂砂抑制の影響は全く現われていない。



2). 海浜地形の変化と変動量 図-8は海底地形の変化を明らかにするため、各年度の深浅測量図を重ね合せることによって作成した侵食・堆積図の一例

であり、図-9はこれらから検査面領域内の土量変化を経年的に示したものである。これからも漁港周辺では汎線の変化に対応して全体的に陸やから堆積傾向にあることが明らかとなっており、これまで東洋の特性に顕著な変化のない限り、今後もこの傾向が続くものと考えられる。

4. 海岸地形の変形機構

1). 沿岸漂砂量の推定 沿岸漂砂量 Q_x の推定に Savage 型公式を用いることにし、1次元的に取扱った漂砂の連続式

$$\frac{\partial \eta}{\partial t} = - \frac{1}{(1-\alpha) h_0} \frac{\partial Q_x}{\partial x} \quad (3)$$

から Savage 係数 C を逆算する。ここに h_0 は移動限界水深、および η は基準線から汎線までの距離である。断面形状がほぼ一定に保たれていた昭和38年にについて移動限界水深を求め一年間のエネルギーフラックスの50m間隔ごとの沿岸方向成分、汎線変化量および防波堤東西での堆積土量との関係を式(3)に適用して求めた結果、Savage 係数 C は 0.06 となった。なお、この時の移動限界水深は現地資料および佐藤の式から 18.8m となった。図-10は、昭和38年度一年間の東洋波浪に対して 30ヶの代表値を与え、それに対して屈折計算を行なってエネルギーフラックスの沿岸方向分布を求め、さらにサバージ式から推定した漂砂量を式(3)に適用して求めた汎線の一年間の変動量と実測値との比較を示したものである。これから絶対値に明らかな相違が見られるが、西岸側では防波堤から離れるところの傾向にある程度の対応が見られる。このことは東岸側や防波堤付近では反射波の影響が卓越し、エネルギー フラックスの計算においてはこれらの考慮が必須であることを示すものと言えよう。最後に著者らが提案していく防波堤による漂砂の开业率を考慮した予測モデルによつて昭和38年度一年間の海浜変形の予測を試みた結果が、図-10中の一点鎖線で示される汎線形状である。これから実測値との間に絶対値およびその傾向において明らかな相違が見られ、防波堤周りのよう回折や反射現象が問題となる海浜においては、1次元モデルの適用になお問題のあることが明らかとなつてゐる。

5. 結語

本研究によって、赤羽根漁港周辺には、一般に根島半島についていわれているように侵食傾向は見られず、今後もほぼ安定していふと思われる。また予測モデルによる将来予測を試みたが、その適用にのみ問題の存在することが明らかとなった。

図-6 汎線の変化

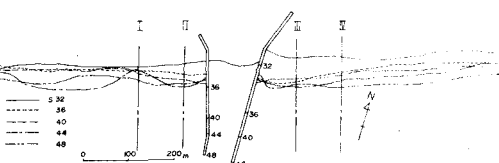


図-7 防波堤の延長に伴う汎線の変化



図-8 侵食・堆積図

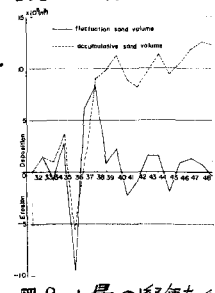


図-9 土量の経年変化

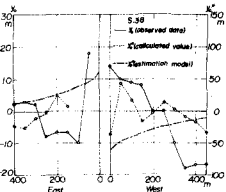


図-10 予測式による計算結果と実測値との比較